

高分子內 케리아의 트랩핑現象에 관한 研究

The Study on Trapping Phenomena of Charge Carrier in Polymer

論 文

26~4~4

李 德 出*
(Duck Chool Lee)

Abstract

The main purpose of this paper is to study on the nature of the traps in polymer.

The polyethylene is typical of polymer material as to be selected for a sample.

The current I_{th} are obtained with an small external bias voltage from high density polyethylene which have been treated by the high-field application.

Two peaks, P_1 and P_2 with maxima near 85°C , respectively, appeared on the current I_{th} spectrum. From the results of experiment, It is clear that The current I_{th} arises from the drift, under the external field, of carriers released from the trap sites by the heating and the trap is surrounded by a potential barrier and trapping proceeds during the high-field treatment.

The obtained results can suggest that polyethylene contains trap sites which have an important role in the electrical conduction and breakdown of polymeric materials.

1. 序 言

急速한 近代產業의 發展에 수반하여 에너지源으로써 電力需要는 增加일로에 있으며 이로 因한 電力系統의 超高電壓化 및 長期 安定化의 경향으로, 電氣絕緣系의 綜合的性能과 信賴性의 向上에 대한 조건이 高度多樣化의 추세에 놓이게 되었다. 電氣絕緣素材의 基本的電氣特性으로 絝緣破壞強度, 抵抗率 및 誘電特性 등의 向上이 바람직한 일이라 하겠고, 일 반적으로 誘電體의 電氣傳導와 絝緣破壞機構¹⁾²⁾의 연구는 오래전부터 행하여 왔으며 1930年代 量子力學的 物性論의 發展으로 Von Hippel과 Fröhlich氏의 연구자에 의하여 固體誘電體의 電氣傳導 및 絝緣破壞機構에 대한 物性論의 基礎의 解明은 完成되었다고 본다. 근래 高分子化學의 發展으로 登場하여 電力케이블로부터 電子部品에 이르기까지 널리 電氣絕緣材料로써 사용하게 된 合成高分子物質의 電氣傳導나 絝緣破壞에 대해서는 現在 미해 결된 문제가 많이 남아 있을 뿐 아니라 高分子의 복雜한 化學構造로 인한 새로운 독특한 문제가 提起되고

있다. 예를들면 高分子中의 空間電荷生成의 原因으로 되는 케리아의 起源과 트랩프의 實體 및 그 性質의 解明과 트랩프를 消滅시키기 위한 대책에 대한 문제해결이 優先되고 있는 실정이다. 固體誘電體에 있어서 케리아트랩프(Carrier trap)가 電氣傳導特性이나 絝緣破壞特性에 重大한 影響³⁾을 주는 것은 이미 기초적으로 究明되어 있고, 高分子필름의 高電界傳導特性에서도 트랩프가 관여한 空間電荷制限電流機構⁴⁾나 poole-Frenkel 效果에 依한 電流機構⁵⁾⁶⁾ 그리고 絝緣破壞特性에 空間電荷의 影響⁷⁾ 등 電氣的諸性質⁸⁾⁹⁾¹⁰⁾¹¹⁾에 대한 여러 方面에서의 검토로써 트랩프에 대한 현상적 파악은 되고 있으나 高分子絝緣의 性能向上을 위하여 이들의 性質이나 實體에 대해서는 명확히 하여 둘 必要가 있으면서 不明確한 점이 많이 있다. 그리고 특히 트랩프케리아에 依한 空間電荷의 空間的 또는 에너지的 分布狀態를 直接 관측하는 方法이 現在로서는 確立되어있지 않고 間接的인 實驗方法으로 求하고 있는 형편이다. 본연구에서는 종래 거의 解明된바 없는 室溫以上의 溫度領域에서 포리에티렌에 高電界를 印加하였고, 高電界처리된 폴리에티렌으로부터 흐르는 電流—溫度特性부터 포리에티렌에 케리아가 트랩프 되는 현상을 관측하고 트랩프의 性質에 대한 推定을 할 수 있었기에 그

*正會員：檀國大 工大 電氣工學科副教授·工博(當學會編修委員)

接受日字：1977年 6月 14日

結果에 대하여 考察하고자 한다.

2. 實驗

a) 試料 및 電極系

本實驗에 사용한 시료는 폴리에틸렌(HDPE, Yukalon PX40)이며 두께는 $20\mu\text{m}$ 이고, 物理的特性은 表1에 표시하였다. 폴리에틸렌은 合成高分子中에서 가장 간단한 分子構造를 가진것 중에 속하여 無定形部分과 結晶部分이 存在하고 있음을 알 수 있다. 電極으로 써는 主로 高分子塑性兩面에 金(Au)를 5×10^{-5} Torr 정도의 真空상태에서 真空蒸着하였다. 電極端에서의 電界를 緩和시키기 위하여 擴散端으로 하였고, 上部電極의 直徑은 9.5cm, 主電極의 直徑은 7cm이며, 主電極外側에는 保護環電極을 설치하였다.

表 1. 試料의 物理的特性

Table 1. Sample description

	Melt Inde	Melting point	Density	Crystallinity
HDPE(Yukalon-PX40)	1.6	135	0.960	82-84

b) 實驗方法

시료를 그림 1(a)로 표시한 장치에 設定하고, 10^{-3} Torr 정도의 真空으로 한 다음 O_2 20%와 N_2 80%의 混合乾燥한 가스를 이 容器에 넣고, 그 雰囲氣中一定溫度(T_e)에서 高電界(F_e)를 一定時間(t_e)동안 印加하여 試料가 高電界처리 되도록 하였다. 이와같이 高電界가 一定時間 인가 된 다음 高電界를 除去하고 一定時間(t_d) 經過한 후 試料를 그림 1(b)에 표시한 恒溫槽內에 設定하고, 試料가 一定한 溫度로 되었음을 확

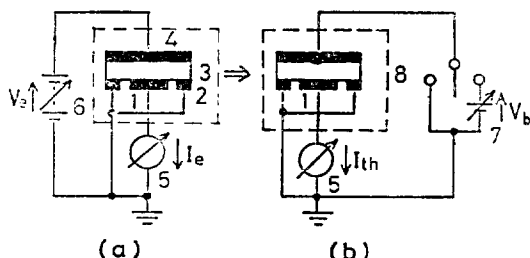


그림 1. 實驗장치의 개략도

Fig. 1. Schematic diagram of Experimental apparatus

(1) main electrode of 7cm diameter; (2) quard electrode; (3) sample; (4) counter electrode; (5) vibrating-reed electrometer; (6) and (7) batteries; (8) shield;

인하고나서 實驗目的에 따라 外部에서 微小バイアス電壓(V_b)의 印加 혹은 $V_b=0$ 의 경우를 취하였다. V_b 를 인가하는 경우 吸收電流가 거의 관측되지 않는 점에서 外部微小電壓이 印加한 그대로 一定한 升溫速度(β)로써 溫度를 上昇시키면서 電流를 測定하였다. $F_e=1\text{MV}/\text{cm}$ $t_e=1\text{hr}$, $T_e=\text{室溫}2(5^\circ\text{~}30^\circ\text{C})$, $\beta=0.4^\circ\text{C}/\text{min}$, 高電界印加時の 雰囲氣로써 乾燥 O_2 20% + N_2 80%의 상태를 주로 本實驗에서 標準實驗조건으로 하였다.

3. 實驗結果

a) 高電界처리된 試料의 電流一溫度特性

그림 1(a)에서 표준實驗 조건으로 高電界처리된 試料를 그림 1(b)와 같은 장치를 이용하여 外部微小バイアス電壓(V_b)를 印加하고 一定한 溫度上昇率로 溫度를 變化시키면서 측정한 電流(以下 I_{th} , 热刺激電流)를 그림 2에 圖示하였다. 그림 2 중에서 曲線 1은 印加高電壓 $V_e=2000\text{V}$ 로 하고 微小バイアス電壓 $V_b=9\text{V}$ 로 한 것이고, 1'는 $V_e=2000\text{V}$ 이나 V_b 의 极性만을 바꾼(즉 $V_b=-9\text{V}$) 특성 曲선이다. V_b 极性的 方向에는 依存치 않음을 알 수 있다. 이를 曲선은 50°C 부근에서 피크(peak)가 한 개 나타나고, 세심히 觀察하면 85°C 부근에서 또 한 개의 피크가 있음을 알 수 있다. 特의상 두개의 피크를 高溫側으로부터 P_1 및 P_2 라 이를 불이기로 하고, 이를 特性을 구명하기 위하여 以下 高電界처리 有無, 外部微小バイアス電壓依存性 및 活性化에너지의 측정을 시도하였다. 本實驗에서는 주로 再現性이 좋은 P_2 에 대하여 探討하였다.

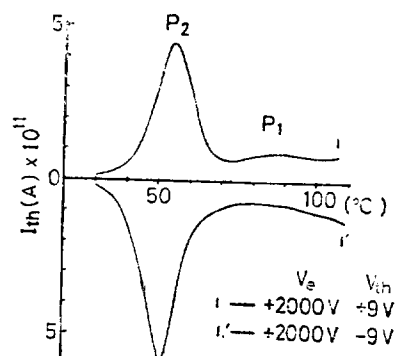


그림 2. 電流(I_{th})—溫度特性

Fig. 2. Current VS temperature characteristics from HDPE which have been treated by a high-field application.

b) 高電壓(V_e) 印加依存性

前記(a)의 그림 2에서는 高電壓 $V_e = 2000V$ 처리한 시료에 $V_b = \pm 9V$ 印加한 I_{th} 의 特性곡선이 있으나 V_e 처리하지 않은 試料에서는 $V_b = \pm 9V$ 를 印加하여 측정한 I_{th} 의 特性은 그림 3의 曲선 1과 같이 피크가 存在치 않을뿐 아니라 그 크기도 대단히 적었다.

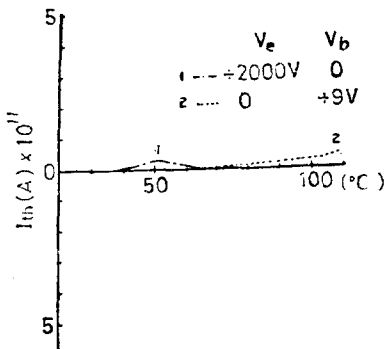


그림 3. 電流(I_{th})—溫度 特性의 V_e 와 V_b 依存性
Fig. 3. The dependence of I_{th} -T characteristics on V_e and V_b .

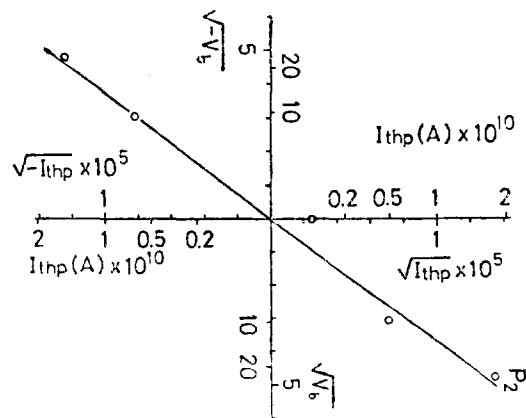
이事實은 高電壓를 处理함에 따라 케리아가 試料內에 트랩프(trap)됨을 시사하고 있다. 高電壓印加 处理된 試料라도 外部微小バイアス電壓 $V_b = 0$ 인 경우에는 그림 3의 曲선 2와 같이 I_{th} 의 크기가 그림 2의 曲선 (1, 1')인 경우에 비하여 극히 적다. 이 결과로 그림 2의 I_{th} 는 雙極子의 再配向이나 空間電荷電界에 依한 케리아 드리후트(Carrier drift)가 아니라 V_b 印加로 인한 케리아 드리후트成分임을 추정할 수 있다.

c) 外部微小バイアス電壓(V_b) 依存性

高電壓 $V_e = 2000V$ 를 一定한 조건으로 处理된 시료에 V_b 를 $-45V$ 에서 $+45V$ 까지 變化시켰을 때 低溫側의 피크 P_2 의 最大值 I_{thp} 의 變化를 그림 4에 圖示하였다. 두개의 피크 P_1 P_2 에 대하여 피크값과 V_b 의 관계는 V_b 극성의 正方向과 負方向에 있어서 原點에 대하여 대칭적인 變化를 보이고 있었으며 특히 피크 P_2 의 피크값은 그림 4에서처럼 V_b 에 거의 완전히 比例함을 알 수 있다. 따라서

$$I_{th} = \Delta\sigma S F_b, \quad \Delta\sigma = q n_c \mu$$

여기서 $\Delta\sigma$ 는 피크電流에 해당하는 試料의 導電率 S 는 斷面積, F_b 는 微小バイア스電壓 V_b 에 依한 電界 q 는 케리아의 電荷量, n_c 는 케리아의 密度, μ 는 케리아의 移動度이다. 高電壓처리에 依한 I_{th} 의 增加는 高電壓印加에 의한 μ 의 增加라고는 생각하기 어려움으로 高電壓처리에 의하여 n_c 가 增加한 것이라 추정할 수 있다.

그림 4. 피크電流值 I_{thp} 와 V_b 의 관계

4. Relation between peak Value I_{thp} and bias Voltage V_b .

d) 部分加熱法의 結果

그림 5는 部分加熱의 結果를 圖示한 것이다. 그 결과는 다음 순서로써 얻었다. 우선 高電壓 처리한 試料를 $30^\circ C$ 一定하게 한다. 그後 V_b 를 印加하여 1時間經過後 V_b 를 印加한 그대로 처음 $45^\circ C$ 까지 溫度를 上昇시킨다. $45^\circ C$ 로 되면 外部電壓 V_b 를 印加한채로 急冷하고, 再次 $50^\circ C$ 까지 溫度上昇을 行한다. 以下 그 순서로 반복하면서 各部分加熱時의 到達 最高溫度를 $5^\circ C$ 씩 올려간다. 그림 6은 그림 5의 各部分加熱의 스펙트럼의 경사로부터 求한 活性化에너지와 各部分加熱

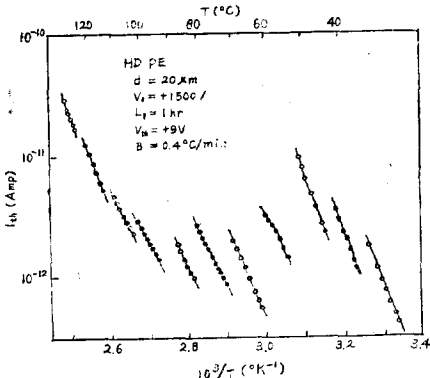


그림 5. 部分加熱의 結果

Fig. 5. Results of partial heating

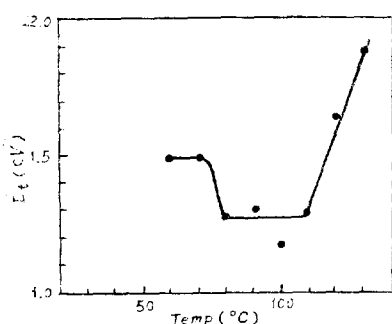


그림 6. 部分加熱法에서 求한 活性化 에너지
Fig. 6. Apparent activation energy Calculated by partial heating method

熱時의 到達最高溫度에 대하여 plot한 것이다.

60~70°C에서 活性化에너지가 1.4~1.5 eV, 80~120°C에서는 1.2~1.3eV로 減少한다. 그래서 다시 高溫에서는 增加하는 경향이 있다. 部分加熱과 같은 요령으로 두개의 피이크를 피이크クリーニング(peak cleaning)하는 과정에서 피이크 P_2 가 거의 없어졌다고 생각되는 温度 65°C까지 温度를 上昇시킨 후 試料를 急冷 그後 다시 高溫側의 피이크가 거의 없어졌다고 생각되는 95°C까지 温度를 上昇하고 같은 순서를 반복하고 最後로 용융직전까지 温度를 上昇하면서 I_{th} 를 측정한다. 이와같이 하여 얻어진 I_{th} 의 스펙트럼의 경사로부터 前項에서 求한 活性化에너지와 거의 같은 값을 얻을수 있었다.

4. 實驗結果의 考察

앞절의 實驗結果로부터 高電界처리한 高密度폴리에티렌(HDPE)에 微小바이아스 電壓을 印加하고 温度를 變化시키면서 측정한 I_{th} 의 特性은 피이크를 보이는 現象을 관측하였고 이 現象은 50°C 및 85°C 부근에서 두개의 피이크를 나타내고 있음을 알았다. 이 特性은 同一조건으로 高電界처리한 試料라도 微小바이아스 電壓(V_b)를 印加치 않은 경우($V_b=0$)에는 관측될 수 없을정도로 미소하다는 점과 V_b 의 极性과 크기에 I_{th} 의 极性과 크기가 비례한다는 점으로부터 두개의 피이크를 나타내는 I_{th} 는 雙極子의 再配向이나 空間電荷電界에 의한 케리아드리후트가 아니고 V_b 印加에 의하여 生成되는 케리아드리후트成分인 것을 추정할 수 있다. 그리고 V_b 를 印加한 경우라도 高電界 처리하지 않는($V_b=0$)인 시료에서는 피이크가 存在하지 않을뿐 아니라 I_{th} 의 크기도 대단히 적다는 점으로부터 高電界를 처리함에 의하여 케리아가 試料內에 트랩프됨을 시사하며

트랩프된 케리아가 热的으로 励起되어서 自由케리아로 됨과 동시에 V_b 의 印加로 인하여 케리아드리후트가 일어나서 I_{th} 가 관측됨을 확인할 수 있다. 트랩프된 케리아를 解放함에 必要한 活性化에너지 E_a 는 partial heating法¹²⁾, initial rise法, 積分에 依한 方法 및 温度上昇率과 热刺激電流가 最大로 되는 温度 T_m 과의 관계를 이용하는 方法등에 依하여 求할 수 있다. 그림 6은 partial heating(部分加熱)法에 依하여 얻어진 活性化에너지와 표시하였고(본고에서는 部分加熱法에 依하여 E_a 가 얻어졌기 때문에 기호의 복잡성을 피하기 위하여 E_a 를 E_{th} 로 쓰겠다). 家田氏가 傳導電流의 測定으로부터 求한 活性化에너지 $E\sigma$ ^{13), 14)}와는 거의 같은 값을 나타냄을 알 수 있다. 폴리에티렌의 移動度(μ)의 温度依存性은 現在 여러가지 不明確한 점이 있으나 여기서 hopping model를 고려하면

$$\mu = \mu_0 \exp\left(-\frac{E\mu}{kT}\right)$$

로 적을 수 있다.

여기서 μ_0 는 温度에 관계치 않는 定數 $E\mu$ 는 hopping에 대한 電位障壁, T 는 絶對溫度, k 는 블츠만 定數이다. 케리아를 電子라 가정하면

$$E\sigma = E\mu + E_F$$

그리고

$$E_F = E\mu + E_t'$$

로 표시할 수 있다. $E\sigma$ 와 E_F 의 比較에서 피이크 P_2 에 대하여는 $E_t' \approx E_F$ 이므로, 이 피이크에 대응하는 트랩프는 热平衡時에 상당히 체워져 있을 것이며 高電界(F)의 印加有無에 상관없이 피이크가 나타날 것이다. 그러나 實驗結果에서는 (그림 2와 3) 그렇게 되고 있지 않다. 이러한 것은 傳導帶로부터 트랩프깊이 E_t 는 E_F 보다도 적은 것을 시사한다. 이러한 사실을 理解하

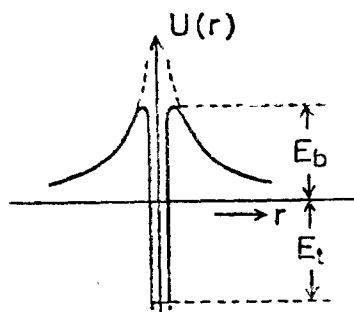


그림 7. 電位障壁으로 둘러쌓인 트랩프의 모델

Fig. 7. Illustration of the model in which a trap is surrounded by a potential barrier for freeing under no external field,

기 위하여 그림 7에 도시한 모델¹²⁾¹⁵⁾을 도입하여 電位障壁 E_b 로 둘러쌓인 트랩프를 생각하여 E'_t 가

$$E'_t = E_t + E_b$$

E_b 는 傳導帶下端에서 障壁의 높이, E_t 는 傳導帶下端에서 트랩프의 깊이로 形成되어 있다고 생각하면 본실험의 피이크에 대응하는 트랩프의 성질을 定性的으로理解할 수 있다. 그러므로 본실험의 결과로부터도 上記의 그림 7과 같은 電位障壁으로 둘러쌓인 트랩프의 모델을 지지할 수 있다. 이 모델을 사용하므로써 여기에 高電界를 印加하면 實效障壁(ΔE)가 低下하여 케리아의 트랩프에 대한 實效的인 障壁의 높이가 減小하게 된다. 이와같이 생각하면 본 실험결과의 高電界印加依存性으로부터(그림 2의 曲선 1과 그림 3의 曲선 2)高電界印加에 依하여 트랩핑(trapping)¹⁶⁾ 助長된다는推定을 잘 說明할 수 있다.

5. 結 論

從來 명확치 않았던 室溫以上의 溫度領域에서 高電界下에 있어서 케리아트랩프의 性質에 注目하고, 高電界에서 처리된 포리에티렌의 電流 I_{th} 를 측정한 결과 두개의 피이크가 存在함을 알았고, 이들의 性質은 실험결과와 고찰에서 얻어진 것을 정리하여 보면

(1) 두개의 피이크를 가진 I_{th} 曲선은 昇溫時에 外部微小バイアス電壓 V_b 를 印加함에 의하여 비로써 관측되며, 印加高壓界(F_e)의 極性方向에는 依存하지 않고, 印加 V_b 의 極性과 같은 方向으로 흐르며 V_b 의 크기에 依存한다.

따라서 이들 피이크가 雙極子의 再配向이나 空間電荷電界에 의한 케리아드리후트에 의한 것이 아님을 명백히 하였다.

(2) 高電界처리를 하지 않은 미처리의 포리에티렌에 V_b 를 印加하여 얻어진 I_{th} 는 피이크가 관측되지 않고, 그 크기도 대단히 적었다.

따라서 高電界처리에 의하여 케리아트랩핑이 助長됨을 알 수 있었다.

(3) 活性化에너지의 측정으로부터, 트랩프의 性質로써 電位障壁으로 둘러쌓인 트랩프임을 파악할 수 있다. 이와같이 본 연구에서 얻어진 현상은 특히 高電壓케이블등 高電壓下의 電力機器의 絶緣設計 등에 고려 하여야 할 결과라 생각한다. 그러나 高分子內 存在가 확인된 트랩프가 電子性의 것인지 이온성의 것인지 그리고 트랩프가 高分子中의 鎮中 어디에, 어떠한 形으로 存在하는가등 트랩프의 實態에 대해서는 아직도 明確한 것을 전연 알지 못하고 있으나, 필자의 實驗結果의 現

象에서부터 推定되는 사항이 얻어져 있기에 여러면으로 검토한 위에 추후 발표하기로 하겠다.

参考文獻

- 1) H. Fröhlich: On the Theory of Dielectric Breakdown Solids. Proc. Roy. Soc. A160 230 (1937)
- 2) A. Von Hippel & R.S. Alger: Breakdown of Ionic Crystals by Electron Avalanches. Phy Rev. Vol 76 No.6 pp. 127~133 (1949)
- 3) J.J. Odwyer: The Theory of Electrical Conduction and Breakdown in Solid Dielectrics. pp.110~136. Carendon Press. Oxford (1973)
- 4) 天州, 大石: ポリエチレンの電氣傳導と絶緣破壊 (日)電學誌 84 129(39)
- 5) M. Ieda, etc: A Consideration of Poole-Frenkel Effect on Electric Conduction in Insulator. J.A.P Vol.42 No.10 (1971)
- 6) 田中: 高電界電氣傳導に對する空間電荷の影響 電中研技報告 No.67091(43)
- 7) D.B. Watson & Some Aspects of Dielectric Breakdown Solid K.C. KAO: IEEE Trans. on EL (1965)
- 8) 家田外: 日電學誌 95A-6 (1975)
- 9) 日野外: 日電學誌 95A-2 (1975)
- 10) 家田外: 日電學誌 96A-6 (1976)
- 11) Y. Yahagi etc: Effect of Carrier Traps in Polyethylene under γ ray Irradiation. J.A.P. 37, 1 (1966)
- 12) R.A. Creswell M.M. perlman: Thermal Currents from Corona Charged Mylar. J.A.P 6 41 (1970)
- 13) G. Sawa, M. Ieda: Pre Exponential Factor in Electrical Conductivity of Irradiated Polyethylene. J.J.A.P 11 46 (1972)
- 14) M.Ieda etc: Relation Between Pre-Exponential Factor and Activation Energy in dark Conductivity of Polyethylene. Electronics Letter. Vol. 10 No.5 (1974)
- 15) R.H. Bube etc: Determination of Electron Trapping Parameters. J.A.P 37 1 (1966)